

## Modeliranje i analiza rekonfigurabilnog dvoosnog paralelnog mehanizma MOMA sa osnaženim translatornim zglobovima

**GORAN V. VASILI**, Univerzitet u Beogradu,  
Mašinski fakultet, Beograd

**SAŠA T. ŽIVANOVIĆ**, Univerzitet u Beogradu,  
Mašinski fakultet, Beograd

Originalni naučni rad

UDC: 621.9

DOI: 10.5937/tehnika1601057V

*U ovom radu je prikazano modeliranje i analiza jednog rekonfigurabilnog dvoosnog paralelnog mehanizma. Predstavljen je generalizovani model za rešavanje inverznog i direktnog kinematičkog problema. Izvedene su uopštene jedne ine koje predstavljaju rešenje kinematičkih problema paralelnog mehanizma koje važe za bilo koju konfiguraciju rekonfigurabilnog dvoosnog paralelnog mehanizma. Kao primeri realizacije pokazane su izdvojene karakteristične konfiguracije mehanizma. Za izdvojene konfiguracije određen je radni prostor i analizirani su mogući singularni položaji mehanizma.*

**Ključne reči:** rekonfigurabilni dvoosni paralelni mehanizam, inverzni i direktni kinematički problem, radni prostor, singulariteti

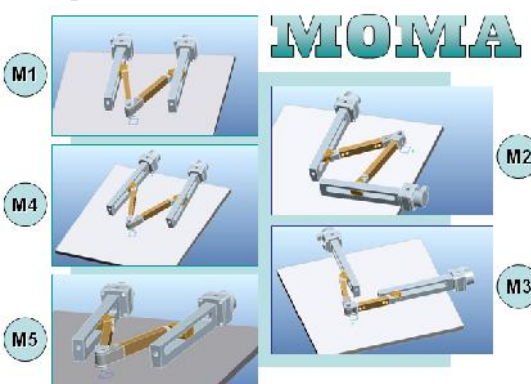
### 1. UVOD

Rekonfigurabilni dvoosni paralelni mehanizam - MOMA, pripada generaciji rekonfigurabilnih tehnoloških modula [1], koji može eksistirati samostalno ili u kombinaciji sa drugim mehanizmima, grade i nove mašine alatke. Akronim MOMA predstavlja Modularnu mašinu alatku otvorene arhitekture upravljanja, na bazi rekonfigurabilnog dvoosnog paralelnog mehanizma sa osnaženim translatornim zglobovima i spajkama konstantne dužine.

MOMA je uspostavljena kao sistem sastavnih elemenata (modularni sistem), na osnovu koga se može vršiti rekonfigurisanje i hardverskog i softverskog dela sistema [2]. U ovom radu se razmatra samo deo koji se odnosi na uspostavljanje generalizovanog modela za rešavanje inverznog i direktnog kinematičkog problema, analizu radnog prostora i singulariteta za izdvojene karakteristične konfiguracije rekonfigurabilnog paralelnog mehanizma, prikazane na slici 1.

Paralelni mehanizam razmatran u ovom radu je nastao uopštavanjem paralelnog mehanizma 2D TeMoPaM (Tehnološki modul sa paralelnim mehanizmom) [3]-[5], a po uzoru na paralelne mehanizme slične konfiguracije i to Trijoint [6], mehanizam sa dva paralelograma [7], Specht [8] i redundantno pogonjeni-

ravanski paralelni mehanizam [9].



Slika 1 – CAD modeli osnovnih pet tipova M1-M5 dvoosnog rekonfigurabilnog paralelnog mehanizma [2]

Tako e, istraživanja posvećuju posebnu pažnju rekonfigurabilnim mašinama alatkama i obradnim sistemima ija se konfiguracija lako i brzo može menjati [10]. Karakteristika rekonfigurabilnih sistema je kustomizacija odnosno prilagođavanje trenutnim potrebama proizvodnje na ekonomski prihvatljiv način [11]. Razvijeni rekonfigurabilni dvoosni paralelni mehanizam omogućava dva pristupa rekonfigurisanju: (i) zamenom modula na mašini i (ii) korišćenje integriranih funkcija rekonfigurabilnosti na mašini [12].

O ekivanici glavni rezultat konfigurisanja je jedna, prema nekom kriterijumu izabrana, konfiguracija mašine MOMA. Do glavnog rezultata potrebno je preći put konfigurisanja, od geometrijskih i kinematičkih

Adresa autora: Goran Vasilić, Univerzitet u Beogradu, Mašinski fakultet, Beograd, Kraljice Marije 16

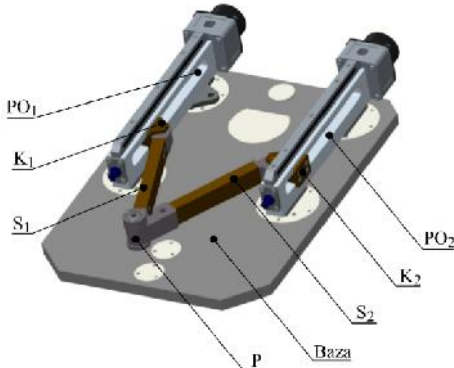
Rad primljen: 10.07.2015.

Rad prihvaten: 26.10.2015.

modela, preko Jakobijana inverzne kinematike i analize singulariteta, analize radnog prostora, optimizacije nekih elemanta mašine (npr. dužina spojki) [13], dobijanje virtuelnog prototipa, simulacija na virtualnim prototipovima do konfigurisanja hardvera mašina na bazi raspoloživog fonda modula i testiranja upravljanja za konačnu verifikaciju konfigurisane nove mašine alatke [14].

## 2. OPIS REKONFIGURABILNOG DVOOSNOG PARALELNOG MEHANIZMA

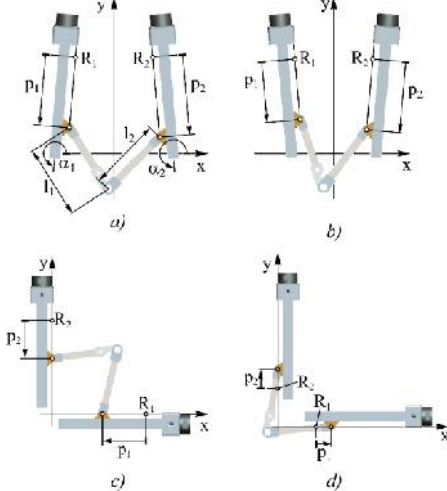
CAD model osnovne koncepcije rekonfigurabilnog dvoosnog paralelnog mehanizma, tip M1, je prikazan na slici 2. Paralelni mehanizam se sastoji od dve identične pogonske translatorne ose  $PO_1$  i  $PO_2$  koje obezbeđuju translatorno kretanje kliza  $K_1$  i  $K_2$  dužno ica. Maksimalan hod pogonskih osa iznosi  $h=200$  mm. Za kliza su vezane spojke  $S_1$  i  $S_2$  pomoću obrtnih zglobova. Tako su spojke i međusobno povezane obrtnim zglobom, a ova veza između spojki je ujedno i pokretna platforma paralelnog mehanizma  $P$ . Spojke paralelnog mehanizma su konstantne dužine.



Slika 2 – CAD model osnovne koncepcije dvoosnog rekonfigurabilnog paralelnog mehanizma, tip M1

Paralelni mehanizam je sastavljen od niza modula a rekonfigurabilnost mehanizma sa slike 2 se ogleda u tome što se međusobni položaj pojedinih modula može menjati (npr. pogonske ose) a pojedine module imaju familiju elemenata različitih dimenzija (npr. spojke). Konfiguracija paralelnog mehanizma se može lako i brzo menjati prema programu gradnje [2, 14]. Programom gradnje je definisana svaka od mogućih konfiguracija paralelnog mehanizma, dok su neke od mogućih konfiguracija paralelnog mehanizma za dalju analizu u ovom radu prikazane na slici 3.

Konfiguracije paralelnog mehanizma se međusobno razlikuju po dužinama spojki  $l_i$  i po orientacijama pogonskih osa definisanih uglovima  $\alpha_i$  (slika 3a). Prilikom promene konfiguracije paralelnog mehanizma, pogonske ose  $PO_1$  i  $PO_2$  se rotiraju oko referentnih tačaka  $R_1$  i  $R_2$ .

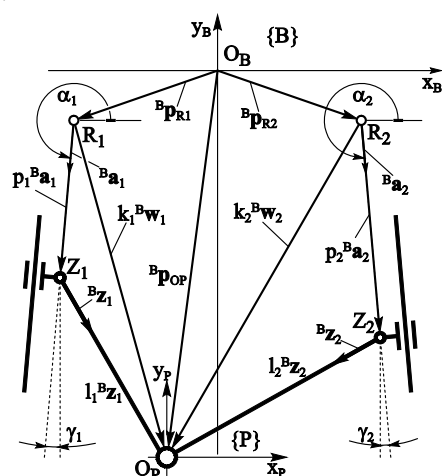


Slika 3 – Konfiguracije rekonfigurabilnog dvoosnog paralelnog mehanizma za analizu sa prikazom osnovnih parametara

Na slici 3a i 3b uglovi  $\alpha_i$  su definisani izrazom  $\alpha_i=3\pi/2+\gamma_i$ . Za konfiguraciju sa slike 3a uglovi  $\gamma_i$  imaju vrednosti  $\gamma_1=-5^\circ$  i  $\gamma_2=+5^\circ$  a za konfiguraciju sa slike 3b  $\gamma_1=+5^\circ$  i  $\gamma_2=-5^\circ$ . Za konfiguracije paralelnog mehanizma sa slike 3c i 3d menja se baza mehanizma i time se postiže da uglovi orijentacije pogonskih osa za konfiguraciju paralelnog mehanizma na slici 3c imaju vrednost  $\alpha_1=\pi$  i  $\alpha_2=3\pi/2$  dok za konfiguraciju na slici 3d  $\alpha_1=0^\circ$  i  $\alpha_2=\pi/2$ . Na slici 3 su takođe prikazane i unutrašnje koordinate paralelnog mehanizma  $p_i$  kao i referentne tačke  $R_i$  koji su bitni za dalju analizu rekonfigurabilnog paralelnog mehanizma.

## 3. GEOMETRIJSKI MODEL PARALELNOG MEHANIZMA I REŠAVANJE IKP I DKP

Na slici 4 je prikazan uopšten geometrijski model rekonfigurabilnog paralelnog mehanizma sa dva stepena slobode koji će se koristiti za rešavanje IKP-a i DKP-a.



Slika 4 – Uopšten geometrijski model paralelnog mehanizma MOMA

Za ovaj geometrijski model usvojena su dva koordinatna sistema i to nepokretni koordinatni sistem  $\{B\}$  vezan za bazu i pokretni koordinatni sistem  $\{P\}$  vezan za platformu paralelnog mehanizma.

Veli ine i vektori definisani geometrijom paralelnog mehanizma prikazani na slici 3 su:

- ${}^B\mathbf{p}_{Ri} = [x_{Ri} \ y_{Ri}]^T$  - vektor položaja referentnih ta aka  $R_i$  u odnosu na nepokretni k.s.  $\{B\}$ ;
- ${}^B\mathbf{p}_{OP} = [x_P \ y_P]^T$  - vektor položaja platforme paralelnog  $P$  u odnosu na nepokretni k.s.  $\{B\}$ ;
- ${}^B\mathbf{a}_i = [a_{xi} \ a_{yi}]^T$  - jedini ni vektori odre eni orijentacijom vo ica paralelnog mehanizma. Za sada je ostavljen opšti oblik jedini nih vektora  ${}^B\mathbf{a}_i$  a u na rednom poglavljju e biti ta no definisani u zavisnosti od konfiguracije paralelnog mehanizma;
- $p_i {}^B\mathbf{a}_i$  - vektori unutrašnjih koordinata, dok je  $p_i$  skalarna veli ina kontrolisana aktuatorima;
- $l_i {}^B\mathbf{z}_i$  - vektori odre eni pozicijom, orijentacijom i dužinom spojki. Vektori  $\mathbf{z}_i$  su jedini ni vektori i odre eni su orijentacijom spojki.

Prema geometrijskom modelu sa slike 3 mogu se napisati slede e vektorske jedna ine:

$$k_i {}^B\mathbf{w}_i = {}^B\mathbf{p}_{OP} - {}^B\mathbf{p}_{Ri} \quad (1)$$

$$l_i {}^B\mathbf{z}_i = k_i {}^B\mathbf{w}_i - p_i \mathbf{a}_i \quad (2)$$

Kvadriranjem jedna ine (2) se dobija kvadratna jedna ina oblika

$$l_i^2 = p_i^2 - 2p_i ({}^B\mathbf{a}_i k_i {}^B\mathbf{w}_i) + (k_i {}^B\mathbf{w}_i)^2 \quad (3)$$

Na osnovu jedna ine (3) se može dobiti rešenje inverznog kinemati kog problema u opštem obliku

$$p_i = ({}^B\mathbf{a}_i k_i {}^B\mathbf{w}_i) \pm \sqrt{({}^B\mathbf{a}_i k_i {}^B\mathbf{w}_i)^2 - (k_i {}^B\mathbf{w}_i)^2 + l_i^2} \quad (4)$$

Zamenom parametara i poznatih veli ina paralelnog mehanizma u jedna inu (3) dobijaju se implicitne jedna ine (5) i (6) koje se dalje koriste za analizu paralelnog mehanizma

$$p_1^2 - 2p_1 [a_{xi}(x_P - x_{R1}) + a_{yi}(y_P - y_{R1})] + (x_P - x_{R1})^2 + (y_P - y_{R1})^2 - l_1^2 = 0 \quad (5)$$

$$p_2^2 - 2p_2 [a_{x2}(x_P - x_{R2}) + a_{y2}(y_P - y_{R2})] + (x_P - x_{R2})^2 + (y_P - y_{R2})^2 - l_2^2 = 0 \quad (6)$$

Za dalju analizu paralelnog mehanizma, jedna ina (5) e se posmatrati kao implicitna funkcija  $f_1$  dok e se jedna ina (6) posmatrati kao implicitna funkcija  $f_2$ .

*Rešenje inverznog kinemati kog problema*

Ako je poznat vektor  ${}^B\mathbf{p}_{OP}$  odnosno koordinate platforme paralelnog mehanizma u nepokretnom koordinatnom sistemu  $\{B\}$ , rešavanjem jedna ina (5) i (6) po unutrašnjim koordinatama  $p_i$  dobijaju se jedna ine koje predstavljaju rešenje inverznog kinemati kog problema

$$p_1 = B_1 - \sqrt{B_1^2 - C_1} \quad (7)$$

$$p_2 = B_2 - \sqrt{B_2^2 - C_2} \quad (8)$$

pri emu je

$$\begin{aligned} B_i &= a_{xi}(x_P - x_{Ri}) + a_{yi}(y_P - y_{Ri}) \\ C_i &= (x_P - x_{Ri})^2 + (y_P - y_{Ri})^2 - l_i^2 \end{aligned} \quad (9)$$

*Rešenje direktnog kinemati kog problema*

Rešavanjem sistema jedna ina (5) i (6) po splošnjim koordinatama paralelnog mehanizma  $x_P$  i  $y_P$  dobija se rešenje direktnog kinemati kog problema. Jedna ina (10.a) važi za konfiguracije sa slike 2.a, 2.b, 2.d dok jedna ina (10.b) važi za konfiguraciju sa slike 2.c. Jedna ina (11) važi za sve konfiguracije.

$$y_P = \frac{-v_{10} - \sqrt{v_{10}^2 - 4v_9 v_{11}}}{2v_9} \quad (10.a)$$

$$y_P = \frac{-v_{10} + \sqrt{v_{10}^2 - 4v_9 v_{11}}}{2v_9} \quad (10.b)$$

$$x_P = v_7 + y_P v_8 \quad (11)$$

Uvedene smene pri rešavanju direktnog kinemati kog problema su date jedna inama (12).

$$\begin{aligned} v_1 &= 2(p_1 a_{xi} + x_{R1}) \\ v_2 &= 2(p_1 a_{yi} + y_{R1}) \\ v_3 &= p_1^2 + 2p_1 (a_{xi}x_{R1} + a_{yi}y_{R1}) - l_1^2 + x_{R1}^2 + y_{R1}^2 \\ v_4 &= 2(p_2 a_{xi} + x_{R2}) \\ v_5 &= 2(p_2 a_{yi} + y_{R2}) \\ v_6 &= p_2^2 + 2p_2 (a_{xi}x_{R2} + a_{yi}y_{R2}) - l_2^2 + x_{R2}^2 + y_{R2}^2 \\ v_7 &= (v_6 - v_3)/(v_4 - v_1) \\ v_8 &= (v_2 - v_5)/(v_4 - v_1) \\ v_9 &= 1 + v_8^2 \\ v_{10} &= 2v_7 v_8 - v_1 v_7 - v_2 \\ v_{11} &= v_7^2 - v_1 v_7 + v_3 \end{aligned} \quad (12)$$

#### 4. ANALIZA RADNOG PROSTORA

Pre same analize radnog prostora, potrebno je upotpuniti izvedene jedna ine definisanjem jedini nih vektora  ${}^B\mathbf{a}_i$ . Prema slici 4 navedeni jedini ni vektori su

oblika  ${}^B\mathbf{a}_i = [a_{xi} \ a_{yi}]^T$  ali se mogu napisati i na sledeći način:

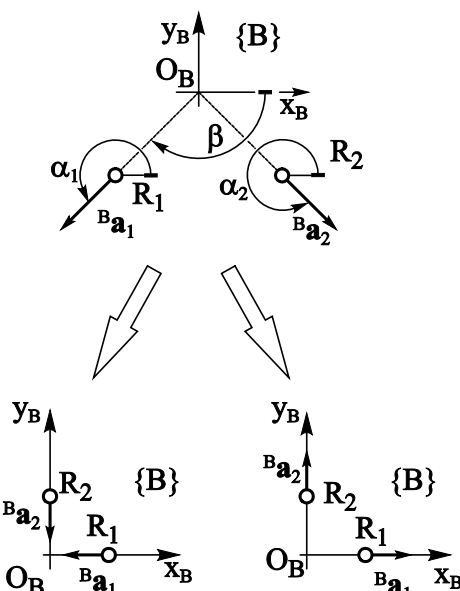
$${}^B\mathbf{a}_i = T^{-1} [\cos \gamma_i \ \sin \gamma_i]^T \quad (13)$$

Matrica  $T$  je matrica transformacije i uvedena je da bi se izvedene jedna ili uopštite i da bi važile za sve konfiguracije paralelnog mehanizma. Za konfiguracije paralelnog mehanizma sa slike 3a i 3b matrica transformacije je

$$T = \begin{bmatrix} 1 & 0 \\ 0 & 1 \end{bmatrix} \quad (14)$$

Matrica transformacije (14) je jedini na matrica i ne menja jedini ni vektore  ${}^B\mathbf{a}_i$  pa je njihov oblik  ${}^B\mathbf{a}_i = [\cos \alpha_i \ \sin \alpha_i]^T$ .

Za konfiguracije mehanizma sa slike 3c i 3d se usvajaju uglovi  $\alpha_1=225^\circ$  i  $\alpha_2=315^\circ$ . Ugao  $\beta$  je ugao za koji su jedini ni vektori zarotirani u odnosu na ose nepokretnog koordinatnog sistema  $\{B\}$ . Uvođenjem matrice transformacije (15) za konfiguraciju paralelnog mehanizma sa slike 3c i matrice transformacije (16) za konfiguraciju mehanizma sa slike 3d, jedini ni vektori  ${}^B\mathbf{a}_i$  se transformacijom dovode u pravac osa koordinatnog sistema  $\{B\}$ . Opisane transformacije su prikazane na slici 5.



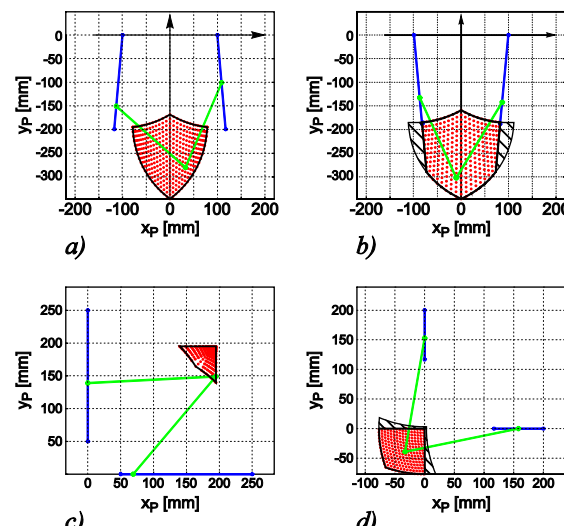
Slika 5 – Uopšten geometrijski model paralelnog mehanizma MOMA

$$T = - \begin{bmatrix} \cos S & -\sin S \\ \sin S & \cos S \end{bmatrix} \quad (15)$$

$$T = \begin{bmatrix} \cos S & -\sin S \\ \sin S & \cos S \end{bmatrix} \quad (16)$$

Za analizu radnog prostora konfiguracija paralelnog mehanizma prikazanih na slici 3 su usvojeni sledeći parametri:

- Za sve konfiguracije su korišćene spojke jednakih dužina i to  $l_1=l_2=195$  mm;
- Za konfiguraciju paralelnog mehanizma sa slike 3a i 3b, koordinate referentnih tačaka u koordinatnom sistemu  $\{B\}$  su  $x_{R1}=-100$  mm,  $x_{R2}=100$  mm,  $y_{R1}=y_{R2}=0$  mm;
- Za konfiguraciju paralelnog mehanizma sa slike 3c koordinate referentnih tačaka u koordinatnom sistemu  $\{B\}$  su  $x_{R1}=250$  mm,  $y_{R1}=x_{R2}=0$  mm,  $y_{R2}=250$  mm;
- Za konfiguraciju paralelnog mehanizma sa slike 3d koordinate referentnih tačaka u koordinatnom sistemu  $\{B\}$  su  $x_{R1}=117$  mm,  $y_{R1}=x_{R2}=0$  mm,  $y_{R2}=117$  mm;
- Za konfiguraciju paralelnog mehanizma sa slike 3a uglovi koji definišu orijentaciju voćica su  $\alpha_1=3\pi/2-5^\circ$  i  $\alpha_2=3\pi/2+5^\circ$ ;
- Za konfiguraciju paralelnog mehanizma sa slike 3b uglovi koji definišu orijentaciju voćica su  $\alpha_1=3\pi/2+5^\circ$  i  $\alpha_2=3\pi/2-5^\circ$ .



Slika 6 – Radni prostori različitih konfiguracija paralelnog mehanizma sa dva stepena slobode

Koristeći izvedene jedna ili usvojene parametre paralelnog mehanizma za svaku konfiguraciju mehanizma sa slike 3, dobiveni su radni prostori koji su prikazani na slici 6. Dobiveni radni prostori su dostižni radni prostori ali zbog konstrukcijskih dimenzija elementa paralelnog mehanizma i zbog iste geometrije mehanizma, spojke mehanizma se mogu nalaziti samo sa jedne strane voćica pa samim time platforma paralelnog mehanizma se ne može naći u svakoj tački radnog prostora. Ovaj deo radnog prostora je na slikama 6b i 6d šrafirana crnim linijama.

## 5. JAKOBIJAN MATRICA I ANALIZA SINGULARITETA

Za dalju analizu rekonfigurabilnog paralelnog mehanizma sa slike 3 izvedena je Jakobijan matrice inverzne kinematike - jedna ine (17) i (18) kao i Jakobijan matrica direktne kinematike data jedna inama (19) i (20)

$$J_p = \begin{bmatrix} \frac{\partial f_1}{\partial p_1} & \frac{\partial f_1}{\partial p_2} \\ \frac{\partial f_2}{\partial p_1} & \frac{\partial f_2}{\partial p_2} \end{bmatrix} \quad (17)$$

$$\frac{\partial f_i}{\partial p_i} = 2p_i - 2[a_{xi}(x_p - x_{ri}) + a_{yi}(y_p - y_{ri})] \\ \frac{\partial f_i}{\partial p_j} = \frac{\partial f_j}{\partial p_i} = 0 \quad (18)$$

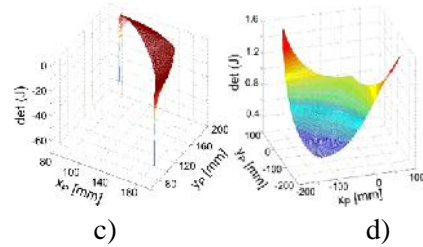
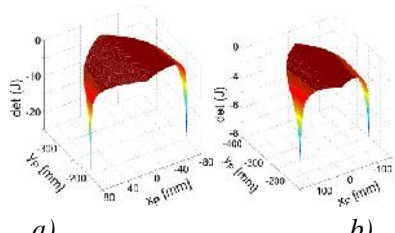
$$J_x = \begin{bmatrix} \frac{\partial f_1}{\partial x_p} & \frac{\partial f_1}{\partial y_p} \\ \frac{\partial f_2}{\partial x_p} & \frac{\partial f_2}{\partial y_p} \end{bmatrix} \quad (19)$$

$$\frac{\partial f_i}{\partial x_p} = 2(x_p - x_{ri}) - 2p_i a_{xi} \\ \frac{\partial f_i}{\partial y_p} = 2(y_p - y_{ri}) - 2p_i a_{yi} \quad (20)$$

Na osnovu Jakobijan matrica inverzne i direktne kinematike dobijena je Jakobijan matrica paralelnog mehanizma iji je opšti oblik dat jedna inom (21).

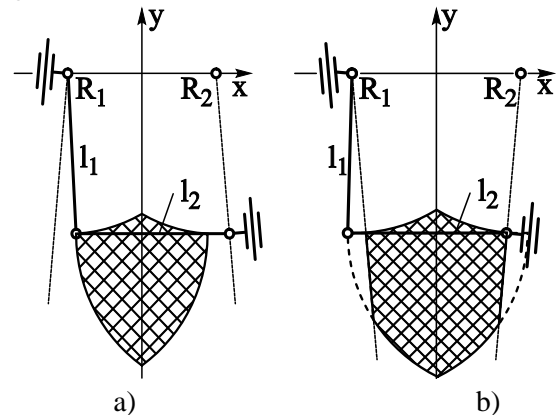
$$J = J_p^{-1} \cdot J_x \quad (21)$$

U jedna inama (18) i (20) figurišu komponente jedini nih vektora  ${}^B\mathbf{a}_i$ , a za analize pojedinih konfiguracija paralelnog mehanizma koriste se ve izvedene matrice transformacije (14), (15) i (16). Prema jednini (21), a sa parametrima paralelnog mehanizma iz prethodnog poglavlja, za svaku konfiguraciju sa slike 3. izra unate su vrednosti determinante Jakobijan matrice za svaku ta ku dostizivog radnog prostora mehanizma a rezultati su u obliku dijagrama prikazani na slici 7.



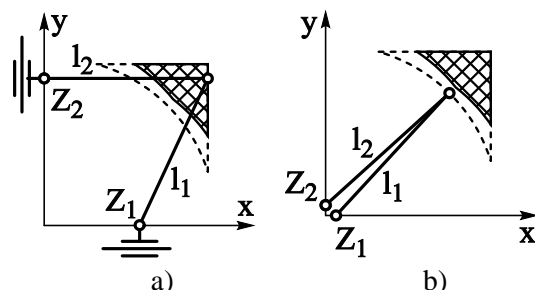
Slika 7 – Vrednosti  $\det J$  za razliite konfiguracije paralelnog mehanizma

Analiziraju i vrednosti  $\det(J)$  i dijagrame sa slike 7 dobijaju se singularni položaji razmatranih konfiguracija paralelnog mehanizma sa slike 3. Na slici 8a i 8b su prikazane singularne konfiguracije paralelnih mehanizama sa slike 3a i 3b, respektivno. Konfiguracije paralelnog mehanizma sa slike 3a i 3b nemaju singularitete direktnе kinematike.



Slika 8 – Singularne konfiguracije:a) za mehanizme sa slike 3a; b ) za mehanizme sa slike 3b

Na slici 9 su prikazane singularne konfiguracije paralelnog mehanizma sa slike 3c i to singularitet inverzne kinematike i singularitet direktne kinematike. Singulariteti inverzne kinematike sa javljaju kada je bar jedna od koordinate platforme jednake dužinama spojki (slika 9a). Za usvojene parametre paralelnog mehanizma to je  $x_p=195[\text{mm}]$  i/ili  $y_p=195[\text{mm}]$ . Singulariteti direktne kinematike sa javljaju kada se zglobovi izme u spojki i kliza a na u u koordinatnom po etku, odnosno kada njihove koordinate imaju vrednosti  $x_{Z1}=x_{Z2}=y_{Z1}=y_{Z2}=0$ .

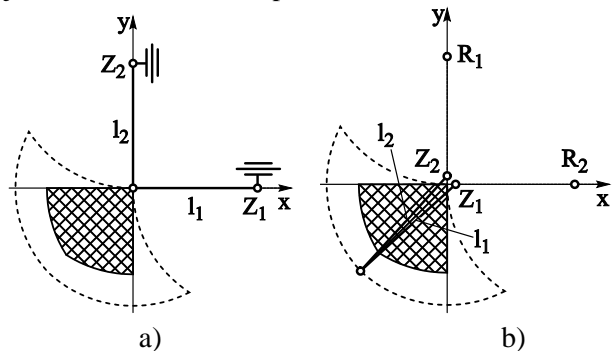


*Slika 9 – Singularne konfiguracije mehanizma sa slike 3c - a) Singulariteti inverzne kinematike ; b) Singulariteti direktne kinematike*

Kao u prethodnom slučaju, mehanizam sa slike 3d ima singularitete inverzne kinematike (slika 10a) i singularitete direktne kinematike (slika 10b).

Singularitet inverzne kinematike se javlja kada su koordinate platforme  $x_p=y_p=0$  dok se singularitet direktne kinematike javlja kada koordinate zglobova između spojki i kliza a imaju vrednosti  $x_{Z1}=x_{Z2}=y_{Z1}=y_{Z2}=0$ .

Na slikama 8-10 prikazane su pozicije platforme paralelnog mehanizma u singularnim položajima mehanizma. Međutim, zbog geometrije sastavnih elemenata mehanizma ali i celog sklopa mehanizma platforma paralelnog mehanizma se ne može naći u svakoj tački radnog prostora dobijenog na osnovu izvedenih jedna ina kinematičkih problema.



*Slika 10 – Singularne konfiguracije mehanizma sa slike 3d - a) Singulariteti inverzne kinematike; b) Singulariteti direktne kinematike*

Na slikama 8-10 radni prostor dobijen proračunom je uokviren isprekidanim linijama dok je radni prostor za realni fiziki model šrafiran i uokviren punom linijom. Uzimajući u obzir, konfiguracija paralelnog mehanizma sa slike 3b ne može zauzeti singularni položaj prikazan na slici 8b. Tako da, konfiguracije sa slike 3c i 3d ne mogu zauzeti položaje u kojima se javljaju singulariteti direktne kinematike prikazanih na slikama 9b i 10b, respektivno.

## 6. ZAKLJUČAK

Osnovni cilj ovog rada je uspostavljanje generalizovanog kinematičkog modela za rešavanje inverzne i direktnog kinematičkog problema rekonfigurabilnog dvoosnog paralelnog mehanizma. Izvedene opštije jednačine su uz promenu pojedinih parametara dalje upotrebljive za formiranje upravljanja za bilo koji konfiguraciju rekonfigurabilnog paralelnog mehanizma, čime se omogućava osobina integrisane rekonfigurabilnosti upravljanja ovakve mašine.

Predstavljene realizacije bilo koje konfiguracije paralelnog mehanizma, izvedene jedne su korištene za analizu željene konfiguracije. Najpre je analiziran radni prostor a potom i singulariteti paralelnog mehanizma. Kako je i pokazano u radu, ovakve analize se mogu sprovesti za bilo koju konfiguraciju i time doći do optimalne konfiguracije koja će ispunjavati potrebe korisnika. Sprovedenom analizom za petri prikazane konfiguracije, zaključuje se da promenom pojedinih parametara mehanizma, osim na oblik i veličinu radnog prostora može se uticati i na singularitete, odnosno ako se znaju singularni položaji mehanizma, fizički se mogu spremiti a samim time i izbegnuti.

Dalji planovi za opisan paralelni mehanizam je istraživanje novih konfiguracija rekonfigurabilnog mehanizma kao i implementacija mehanizma u hibridne rekonfigurabilne mehanizme sa tri i više stepeni slobode.

## LITERATURA

- [1] Koren Y, Heisel U, Jovane F, Moriwaki T, Pritschow G, Ulsoy G, Brussel H. V, Reconfigurable Manufacturing Systems, Annals of the CIRP, 48/2, p. 527-540. 1999.
- [2] Živanović S, Vasilić G, Variants of configuring the 2-axis reconfigurable parallel mechanism - MOMA, Proceedings of 2nd International Scientific Conference Conference on Mechanical Engineering Technologies and Applications COMETA 2014, pp.33-40, University of East Sarajevo, Faculty of Mechanical Engineering, Jahorina, B&H, Republic of Srpska, 2-5. ISBN 978-99976-623-2-3, December 2014.
- [3] Živanović S, Glavonjić M, Edukaciona 2D paralelna mašina alatka kao tehnički modul, 26. JUPITER konferencija, 22. simpozijum NU - Roboti - FTS, Zbornik radova, str. 3.247-3.254, Mašinski fakultet, Beograd, 2000.
- [4] Živanović S, Tehnološki modul sa paralelnim mehanizmom, Magistarska teza, Univerzitet u Beogradu, Mašinski fakultet, 2000.
- [5] Živanović S, Parallel Kinematic Machines, International Journal of Production Engineering and Computers, Vol. 3, No. 3, p.49-54, 2000.
- [6] Šika Z, Hamrle V, Valášek M, Beneš P, Calibrability as additional design criterion of parallel kinematic machines, Mechanism and Machine Theory, Vol. 50, p.48-63, 2012.
- [7] Jinson W, Tiemin L, Liping W, Dynamic analysis of the 2-DOF planar parallel manipulator of a heavy duty hybrid machine tool, The International Journal of Advanced Manufacturing Technology, Vol. 34, p. 413-420, 2007.

- [8] Hanrath, G., Stengele, B., Machine tool for triaxial machining of workpieces. United States Patent. Patent number: 6,328,510. Date of Patent: dec. 11. 2001.
- [9] Jun W, Jinson, W Liping, W, Optimal Kinematic Design and Application of a Redundantly Actuated 3DOF planar Parallel Manipulator, Journal of Mechanical design, Vol 13, 2008.
- [10] Mehrabi M. G, Ulsoy A. G, Koren Y, Reconfigurable Manufacturing Systems and Their Enabling Technologies, Int.J.of Manufacturing Technology and Management, Vol.1, No.1 pp.114-131, 2000.
- [11] Landers G, Mid K, Koren Y, Reconfigurable Machine Tools, CIRP Annals - Manufacturing Technology, Vol. 50, No.1, pp. 269-274, 2001.
- [12] Moon Y. M, Reconfigurable Machine Tool Design, Chapter 7 from book Reconfigurable Manufacturing Systems and Transformable Factories, pp. 111-137. <http://link.springer.com/book/10.1007%2F3-540-29397-3>
- [13] Vasili G., Živanović S, Kokotović B, Glavonjić M, Optimizacija dužina spojki dvoosnog rekonfigurablelnog paralelnog mehanizma - MOMA, 39. JUPITER konferencija, 35. simpozijum NU-Roboti-FTS, Zbornik radova, ISBN 978-86-7083-838-3, str. 3.28-3.35, Univerzitet u Beogradu, Mašinski fakultet, Beograd, oktobar 2014.
- [14] Živanović S, Glavonjić M, Kokotović B, Dimić Z, Stona dvoosna rekonfigurable mašina sa paralelnom kinematikom – MOMA, Tehničko rešenje (Novi laboratorijski proizvod, 82), Univerzitet u Beogradu, Mašinski fakultet, 2014.

## SUMMARY

### MODELING AND ANALYSIS OF 2-AXIS RECONFIGURABLE PARALLEL MECHANISM MOMA WITH TRANSLATORY ACTUATED JOINTS

*This paper presents modeling and analysis of a 2-axis reconfigurable parallel mechanism. In this paper, generalized model for solving of inverse and direct kinematic problems is presented. Generalized equations that represent the solution of the kinematic problems of parallel kinematic mechanism applicable to any configuration of 2-axis reconfigurable parallel mechanism are derived. Some of characteristic configurations of 2-axis parallel mechanism are shown as examples. For the selected configurations the workspaces are determined and the possible singular positions of these configurations are analyzed.*

**Key words:** 2-axis reconfigurable parallel mechanism, inverse and direct kinematic problem, workspace, singularities